

Характеристики некоторых марок лазерных стекол с Nd³⁺

Марка лазерного стекла	$N, 10^{20} \text{ см}^{-3}$	Ч. уровнян. $\frac{1}{4} F_{3/2}, \text{ мкс}$	О. перехода $\frac{1}{4} F_{3/2} \rightarrow J_{1/2}$, 10^{-20} см^2	n	$n_s, 10^{-13} \text{ СГСЭ}$	$dn/dT, 10^{-7} \text{ к}^{-1}$	$W, 10^{-2} \text{ к}^{-1}$
ГЛС2 Силикатное (СССР)	1,98	500	2,2	1,53	—	-16	31
ГЛС22 Фосфатное атмальное (СССР)	2,0	300	3,5	1,6	—	-57,5	2
ЕД-2 Силикатное (США)	2,83	300	2,71	1,57	1,52	29	80
Q-100 Фосфатное атмальное (США)	10,7	190	4,4	1,56	1,2	-46	0
LHG-8 Фосфатное атмальное (Япония)	3,1	315	4,2	1,53	1,13	-53	6

вами Л. с. являются относительно простая технология, низкая стоимость, возможность синтеза стекла в больших (до неск. сотен дм³) объёмах и с высокой оптической однородностью. Активные элементы (АЭ) лазеров изготавливаются в виде цилиндров, параллелепипедов, дисков, трубок разл. размеров. Площадь поперечного сечения АЭ может быть от единиц мм² до десятков см², длина — от единиц см до м. Изготавливаются также АЭ в виде волокон.

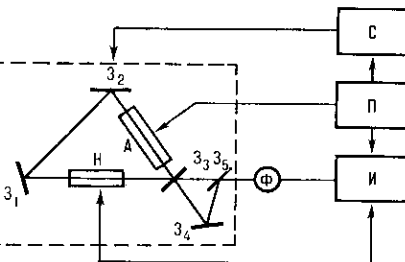
На стеклянных активных средах созданы миниатюрные лазеры и мощные лазерные системы, работающие в разл. режимах и применяемые в медицине, научных исследованиях, геодезии, для технол. целей, а также в экспериментах по управляемому термоядерному синтезу (УТС). Выходная мощность лазерных систем, созданных на стекле с Nd³⁺ для программы УТС, достигает значений 10¹³ Вт в импульсивном режиме при длительности импульса 1 нс. Типичные величины кпд лазеров на стекле с Nd³⁺ 1—5%.

Лит.: Справочник по лазерам, пер. с англ., под ред. А. М. Прохорова, т. 1, М., 1978; Алексеев Н. Е. и др., Лазеры на стеклах, в кн.: Итоги науки и техники. Радиотехника, т. 18, М., 1978; Лазерные фосфатные стекла, под ред. М. Е. Жаботинского, М., 1980.

Б. И. Денкер.

ЛАЗЕРНЫЙ ГИРОСКОП (фotonный гироскоп) — квантовый гироскоп, чувствительным элементом к-рого является кольцевой лазер, генерирующий 2 встречные волны. Действие Л. г. основано на зависимости разности собств. частот кольцевого оптического резонатора для встречных волн от скорости его вращения относи-

Рис. 1. Принципиальная схема лазерного гироскопа: З₁—З₃ — зеркала; А — активная среда; З₄, З₅ — зеркала смесителя встречных волн (З₅ — полупрозрачное); Н — неизменный элемент; Ф — фотодетектор; П — блок питания; С — система стабилизации параметров лазера; И — система обработки информации.



тельно инерциальной системы отсчёта. В отличие от волоконно-оптического гироскопа, регистрирующего угловую скорость вращения, Л. г. позволяет определять изменение угла поворота.

Резонатор кольцевого лазера состоит из 3 (или 4) отражателей (зеркал или призм), установленных на жёстком основании и обеспечивающих замкнутую траек-

торию (треугольник или прямоугольник) для встречных волн (рис. 1). Возникновение разности частот встречных волн следует из зависимости времени обхода светом вращающегося контура от скорости вращения и направления обхода. Согласно общей теории относительности, разность времён обхода вращающегося контура Δt (в приближении малости линейной скорости вращения по сравнению со скоростью света c) записывается в виде, к-рый может быть интерпретирован и в рамках классич. кинематики:

$$\Delta t = \tau_0 \frac{4S\Omega}{cL} \cos \vartheta. \quad (1)$$

Здесь τ_0 — время обхода неподвижного контура, S — площадь и оптич. периметр контура (с учётом показателя преломления), Ω — угл. скорость вращения (в рад/с), ϑ — угол между осью вращения и нормалью к плоскости контура.

Т. к. Δt связана с различием оптич. путей встречных волн соотношением $\Delta t/\tau_0 = \Delta L/L$, а L определяет собств. частоты резонатора, частоты вращающегося кольцевого резонатора для встречных волн v_{\pm} (+ для волны, распространяющейся по направлению вращения) становятся разными:

$$v_{\pm} = v_0 \mp 2v_0 \frac{S\Omega}{cL} \cos \vartheta. \quad (2)$$

Здесь $v_0 = mc/L$ — частота волны в неподвижном резонаторе (m — целое число). Разность ($v_- - v_+$) не зависит от формы контура, положения оси вращения относительно центра резонатора и может быть записана в виде

$$\Delta v = v_- - v_+ = K\Omega \cos \vartheta \text{ (Гц)}, \quad (3)$$

где $K = 4S/\lambda_0 L$ наз. масштабным коэф. Л. г., $\lambda_0 = (\lambda_+ + \lambda_-)/2$ — длина волны излучения покоящегося Л. г.

Разностная частота Δv ($\sim 10^{-2}$ — 10^5 Гц) выделяется фотодетектором при пространств. совмещении (смешении) небольшой части энергии ($\lesssim 0,1\%$) встречных световых волн ($v_{\pm} \sim 10^{14}$ Гц), выведенной из кольцевого резонатора (З₁, З₂, З₃) через выходное частично прозрачное зеркало З₃. Смеситель состоит из зеркал З₄, З₅ (З₅ — полупрозрачное; рис. 1) или спец. призмы с углом при вершине $\approx 90^\circ$. Синусоидальный сигнал на выходе фотодетектора преобразуется в измерит. устройстве в последовательность импульсов, регистрируемых счётчиком. Число импульсов пропорц. углу поворота в плоскости кольцевого лазера. Один импульс на выходе счётчика соответствует повороту Л. г. на $\Delta\varphi \leq 1^\circ$.

Большая величина K позволяет измерять малые скорости вращения при небольших размерах Л. г. Напр., для кольцевого гелий-неонового лазера ($\lambda_0 = 6,328 \times 10^{-5}$ см), имеющего резонатор в виде квадрата со стороной 10 см, $K = 1,58 \cdot 10^5$. При этом суточное вращение Земли, происходящее с угл. скоростью 15 град/ч и регистрируемое на широте 60°, должно давать $\Delta v \approx 10$ Гц. Считая угл. скорость вращения Земли известной и постоянной, можно с точностью $\sim 1'$ определить широту, на к-рой расположен Л. г.

С квантовомеханич. точки зрения Л. г. представляет собой прибор, вращение к-рого вызывает изменение энергий hv_{\pm} и орбитальных моментов L_{\pm} макроскопич. «орбит» фотонов, распространяющихся во встречных направлениях:

$$hv_{\pm} = hv_0 \mp l_{\pm} \Omega, \quad (4)$$

где $l_{\pm} = hv_{\pm} \langle R \rangle / c$ — величины проекций орбитальных моментов на нормаль к плоскости кольцевого резонатора, $\langle R \rangle = 2S/L$ — эффективный радиус орбиты. Из (4) следует, что $\Delta v = v_0 4S\Omega/cL$. Учитывая, что $v_0/c = \lambda_0$, получим выражение (3).

Зависимость $\Delta v(\Omega)$ (выходная характеристика Л. г., рис. 2) в реальном кольцевом лазере отличается от (3)